

一种多带多 Chirp 基调制解调技术 *

肖绵合, 郑霖, 杨超

(桂林电子科技大学 广西无线宽带通信与信号处理重点实验室, 广西 桂林 541004)

摘要: 多带线性调频二进制开关键控(Chirp-BOK)调制是在线性调频(Chirp)信号基础上合成的, 其传统的检测方案匹配滤波法存在非相关项自干扰问题, 在子带个数较多或 Chirp 基的时带宽积较小情况下误码性能较差。建立了一种多带 Chirp 信号的数学模型并提出一种简易的调制框图, 基于该模型, 采用最小二乘法解决了匹配滤波法自干扰问题, 相比于匹配滤波法, 具有较好的信噪比增益。更进一步地, 通过分析多带 Chirp-BOK 技术缺陷提出一种多带多 Chirp 基调制技术(MMCM)。MMCM 技术可以灵活地调整码率与扩频增益之间的关系。仿真表明, 扩频增益为 0dB 情况下, MMCM 与 OFDM 技术有相同频带利用率; 对于 MMCM 的信源组个数为 J 与时带宽积为 P 的情况, 系统处理增益为 P/J 。

关键词: 多带 Chirp-BOK; MMCM 技术; 线性调频基

中图分类号: TN928 **doi:** 10.3969/j.issn.1001-3695.2018.02.0108

Technique of modulation and demodulation based on multi-carrier and multi Chirp-basis

Xiao Mianhe, Zheng Lin, Yang Chao

(1. Processing Key Laboratory of Wideband Wireless Communications & Signal, Guilin University of Electronic Science & Technology, Guilin Guangxi 541004, China)

Abstract: The multi-band Chirp-BOK modulation is based on Chirp signal, which has problem of non-related items self-interference in traditional detection scheme——matching filtering method(MF). The MF has lower bit error rate performance in the case of a larger number of sub-bands or smaller Chirp-based bandwidth. This paper established a mathematical model with multi-band Chirp signals and proposed a simple modulation block diagram. Based on the model, it could use the least square(LS) method to solve the self-interference problem of matched filter. LS method can provide a better SNR gain compared with the MF. Further, we propose a multi-band multi-chirp-based modulation technique (MMCM) by analyzing the multi-band Chirp-BOK technique. MMCM technology can flexibly adjust the relationship between code rate and spread-spectrum gain. MMCM has the same frequency band utilization as OFDM technology with spread spectrum gain of 0dB. For the case that the number of source groups of MMCM is J and the time-bandwidth product is P , the system processing gain is P/J .

Key words: multi-band chirp-BOK; MMCM; Chirp-based

0 引言

由于线性调频信号(Chirp)抗噪、抗多普勒频移能力较强, 其被广泛应用与雷达、水声通信、低功耗系统中^[1~3]; 典型物理层 Chirp 扩频通信系统标准有 Lora、IEEE802.15.4a 等^[4,5]。扩频通信中心思想是以牺牲带宽换取扩频增益, 从而获得较远的通信距离。未来的扩频通信不但需要扩频增益, 同时也需要高通信速率, 而大带宽多带 Chirp 信号能够满足上述需求, 因此多带 Chirp 信号被广泛研究。

近年来, 以 Chirp 信号为基础的时-频域调制取得了一定进

展。Chirp 调制可以分为两大类: 二进制正交键控 (BOK)^[6]、直接调制 (DM)^[7]。对于单带 Chirp-BOK 体制, 它使用上扫频 Chirp 信号和下扫频 Chirp 信号分别代表数字信号 0/1, 其在大时带宽积情况下有良好的误码性能。为了继承 Chirp-BOK 信号高扩频增益且易于实现等特点并为了提升频带利用率, 多带 Chirp-BOK 体制是一种合理的选择。但传统的多带 Chirp-BOK 调制解调方法局限性很大, 主要分为三个方面: a) 调制方法, 文献[8]波形合成采用存储叠加的方法, 在子带个数较多的情况下, 不易于硬件实现且灵活性较低, 无法方便地调整时带宽积参数;b)传统的 Chirp-BOK 解调采用的匹配滤波法存在非相关

收稿日期: 2018-02-06; **修回日期:** 2018-03-25 **基金项目:** 国家自然科学基金资助项目 (61571143, 61371107); 通信网信息传输与分发技术重点实验室开放课题 (KX172600033)

作者简介: 肖绵合 (1991-), 男, 硕士研究生, 主要研究方向为宽带无线通信、软件无线电 (maswell@maswell.tech); 郑霖 (1973-), 男, 教授, 博士, 主要研究方向为宽带无线通信、无线传感器网络; 杨超 (1989-), 男, 博士研究生, 主要研究方向为雷达通信一体化信号处理。

项目干扰的问题, 只有在子带个数较少、时带宽积较大的情况下才有良好的误码性能以及实用性; c) 频带利用率低下, 其时-频域上仍然有大量空闲时频格点可填充。与 BOK 信号相异的分支是直接扩频调制, 直接扩频调制是将已有的基带信号直接与 Chirp 信号相乘。而多带直接调制有 OFDM-Chirp、OCDM、基于分数傅里叶变换的通信系统等^[9-11]。OFDM 信号可以使用方程 $s = W_N^{-1}a$ 描述, 而 OFDM-Chirp 发射信号可以使用方程 $s = CW_N^{-1}a$ 描述; OCDM 发射信号可以使用方程 $s = \Theta_1^* W_N^{-1} \Theta_2^* a$ 描述; 其中 Θ_1^* 、 Θ_2^* 、 C 均为对角阵, 上述三者本质上可以对等, 都是基于 OFDM 信号的直接扩频系统。虽然 OCDM/OFDM-Chirp 使用 Chirp 信号做扩频调制在一定程度上可以抵抗时变信道的时延-多普勒弥散问题^[12], 但其都已经丧失了 Chirp 扩频通信的信噪比增益。

为此, 本文基于上述技术, 通过解决多带 Chirp-BOK 匹配滤波自带干扰解调的问题提出一种低复杂度的频域匹配方案, 通过进一步改进该方案, 提出一种多载波多 Chirp 基通信系统 (MMCM)。MMCM 可以灵活地调整 Chirp 基的时带宽积并且具有较低实现复杂度。

1 多带 Chirp-BOK 信号

1.1 单带 Chirp-BOK

考虑随时间线性变化的 Chirp 信号, 其相位随时间呈二次曲线变化。

$$s(t) = \begin{cases} ae^{j\pi\mu t^2}, & 0 \leq t \leq T \\ 0, & \text{other} \end{cases} \quad (1)$$

其中: a 是 Chirp 信号的幅度; $\mu = B/T$ 是 Chirp 信号的调频斜率; T 是 Chirp 信号的周期; B 是 Chirp 信号的带宽。多带 Chirp 信号是在单带 Chirp 信号的基础上在间隔 ΔB_m 的频带上叠加不同中心频率的 Chirp 信号。多带 Chirp 信号的数学表达式为

$$s(t) = \sum_{m=0}^{M-1} a_m e^{j\pi\mu t^2} e^{j2\pi m \Delta B_m t} \quad (2)$$

其中: m 为子载波序号, M 为总的子载波个数, a_m 为各自子载波的幅度。图 1 给出了单带 Chirp 信号以及多带 Chirp 信号示意图。

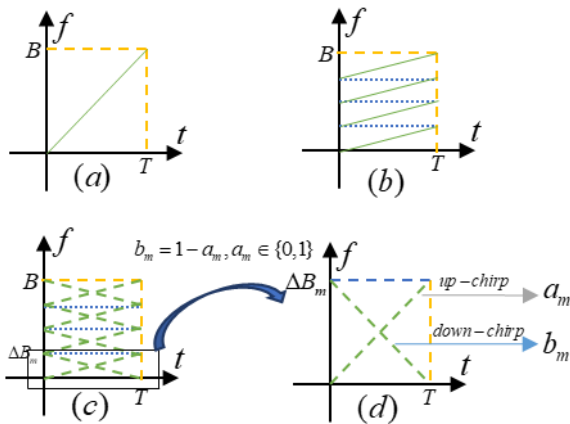


图 1(a) 单带 Chirp. (b) 多带 Chirp. (c) / (d) 多带 Chirp-BOK.

文献[13]给出了单带 Chirp-BOK 的数学表达式。以上扫频调频信号 (Up-Chirp): $Ch_{up} = (2/T_c)e^{j\pi\mu t^2}$ 代表发射数字信号 1; 以扫频调频信号 Down-Chirp: $Ch_{dn} = (2/T_c)e^{-j\pi\mu t^2}$ 代表发射

数字信号 0, 其中 $|t| \leq T_c/2$ 。在接收端使用相关器将发射信号匹配出来, 对于相关项, 它表现出来的是一个 sinc 函数, 且有 $S_{corr}(t) = e^{\pm j\pi\mu t^2} [\sin(\pi\mu(T_c - |t|)) / (\pi T_c \mu t)]$ 。同时存在非相关项干扰:

$S_{uncorr}(t) = (e^{j\pi\mu t^2/2} / \sqrt{T_m B_w}) [C(\pi(\sqrt{T_m B_w} - |t|\sqrt{\mu})^2/2) + jS(\pi(\sqrt{T_m B_w} - |t|\sqrt{\mu})^2/2)]$ 其中 $C(z)$ 和 $S(z)$ 是菲涅尔积分变换。由此可见, Chirp-BOK 信号传统匹配滤波法存在非相关项干扰的问题, 而且显然当时带宽积 $T_m B_w$ 越小, 其非相关项干扰值越大。本节的目的在于解决该问题, 并将之扩展到多带系统中。

1.2 多带 Chirp-BOK 模型

单带 Chirp-BOK 系统中存在非相关项干扰, 多带系统中同样存在, 为了解决该问题, 首先将式 (1) 离散化。定义 Δf 为子载波的最小频移量, N 为一个周期内总采样点数, 则 $\Delta f = f_s / N = 1/T$ 。考虑到 $\mu = B/T$, B 为单带 Chirp 信号的带宽, 定义时带宽积 $P = TB$, 于是 $B = P/T = P\Delta f = P f_s / N$, $\mu = P\Delta f^2$ 。另外, 假设子带间隔为最小频率间隔的整数倍 $\Delta B_m = P\Delta f$ 。从而可以将式错误!未找到引用源。离散化为

$$s(n) = e^{j\pi P \left(\frac{n}{N}\right)^2} \sum_{m=0}^{M-1} a_m e^{j\frac{2\pi}{N} P m n}, n = 0, 1, \dots, N-1 \quad (3)$$

其中: M 为子带的总个数, N 为离散 Chirp 信号的长度。如果采样点数 N 满足 $N = MP$, 那么, 式错误!未找到引用源。恰好是序列 a_m 的逆傅里叶变换。Chirp-BOK 调制就可以描述成

$$s(n) = M e^{j\pi P \left(\frac{n}{N}\right)^2} \frac{1}{M} \sum_{m=0}^{M-1} a_m e^{j\frac{2\pi}{M} P m n} + M e^{j2\pi P \frac{n}{N} - j\pi P \left(\frac{n}{N}\right)^2} \frac{1}{M} \sum_{m=0}^{M-1} b_m e^{j\frac{2\pi}{M} P m n} \quad (4)$$

图 1(c) (d) 给出了多带 Chirp-BOK 调制的时-频图案, 根据 W_N^{nk} 的循环性, 将式错误!未找到引用源。对 M 归一化写成矩阵形式为

$$s = (o_p \otimes W_M^{-1}a) \circ s_{s+} + (o_p \otimes W_M^{-1}b) \circ s_{s-} \quad (5)$$

$$s = S_{s+} E_{N,M} W_M^{-1}a + S_{s-} E_{N,M} W_M^{-1}b \quad (6)$$

其中: $a = [a_0 \ a_1 \ \dots \ a_{M-1}]^T$, $b = [b_0 \ b_1 \ \dots \ b_{M-1}]^T$ 为信源矩阵; \otimes 为克罗内克积; \circ 为哈达玛积。对于 Chirp-BOK 调制而言, 有 $b_m = 1 - a_m, a_m \in \{0, 1\}$ 。傅里叶变换矩阵 W_N 是由 $W_N^{nk} = e^{-j2\pi nk/N}$ 为元素构成的矩阵。矩阵 $o_p \triangleq [1, 1, 1, \dots, 1]^T$ 为全 1 矩阵且 o_p 的大小为 $P \times 1$ 。全 1 矩阵 $o_M \triangleq [1, 1, 1, \dots, 1]^T$, o_M 的大小为 $M \times 1$ 。扩频向量矩阵 s_{s-} 是由序列 $e^{j2\pi P(k/N) - j\pi P(k/N)^2}, k = 0, 1, \dots, N-1$ 构成的列向量; 扩频向量 s_{s+} 是由序列 $e^{j\pi P(k/N)^2}$ 构成的列向量, s_{s+} 和 s_{s-} 的大小为 $N \times 1$ 。 $S_{s+} \triangleq \text{diag}(s_{s+})$, $S_{s-} \triangleq \text{diag}(s_{s-})$, E_M 是大小为 $M \times M$ 的单位阵, $E_{N \times M} = o_p \otimes E_M$ 。

由式错误!未找到引用源。可以看出, 信源向量矩阵 a 、 b 的多带 Chirp 扩频调制可以简单地描述成 $s = C_+ a + C_- b$ 其中 $C_+ \triangleq S_{s+} E_{N,M} W_M^{-1}$, $C_- \triangleq S_{s-} E_{N,M} W_M^{-1}$ 可以看出, C_+ 、 C_- 是一个 N 行 M 列的矩阵。按照多带 Chirp-BOK 调制的数学表达式错误!未找到引用源。可以得出多带 Chirp-BOK 调制框图

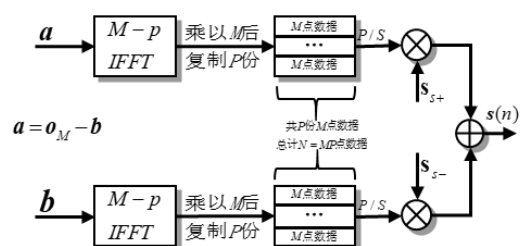


图 2 基于 IFFT 的多带 Chirp-BOK 调制框图

相比于文献[8]采用波形叠加方法实现多带 Chirp-BOK 调制, 本文提供了一种易于硬件实现的调制方案。

1.3 基于 LS 的检测方法

对于检测方法, 考虑多带 Chirp-BOK 调制模型 $s = C_+ a + C_- b$ 以约束条件 $a = o_M - b$ 且向量 a 以及向量 b 中的元素 $a_m, b_m \in \{0, 1\}$ 。定义 $H_c \triangleq [C_+ \ C_-]$, 于是 $r = H_c [a^T \ b^T]^T$ 显然, 当 H_c 的伪逆矩阵 H_c^+ 存在时, 方程是有解的。因此只需要保证 $\text{rank}(H_c) = N \geq 2M$ 即可。

$$H_c^+ = (H_c^H H_c)^{-1} H_c^H = (E_J \otimes W_M) A^+ (o_J \otimes E_N) \triangleq (E_J \otimes W_M) (o_J^T \otimes [D_a^T \ D_b^T])^T (o_J \otimes E_N) \quad (7)$$

对于 Chirp-BOK 而言, $J=2$, 则 E_J 为 2×2 的单位阵; 列向量 $o_J = [1 \ 1]^T$; $A = (o_J \otimes [S_{s+} \ S_{s-}]) (E_J \otimes E_{N,M})$; 因此 $a = 2W_M D_a r$, $b = 2W_M D_b r$ 其中 A 矩阵可以使用计算机计算得出。事实上, 由于 S_{s+} 、 S_{s-} 是一个对角阵, 使得矩阵 D_a 和 D_b 是一个稀疏矩阵, 每一行上 N 个数据中只有 M 个位置上有数据, 其他位置为零。另外, 可以看出 $D_a r$ 、 $D_b r$ 操作实际上只需要做 P 次乘法, 这给系统的硬件实现提供了思路: 将数据流串行处理, 用传统 FIR 滤波器结构实现矩阵相乘操作, 据此, 提出一种基于最小二乘的多带 Chirp-BOK 调制解调方法。

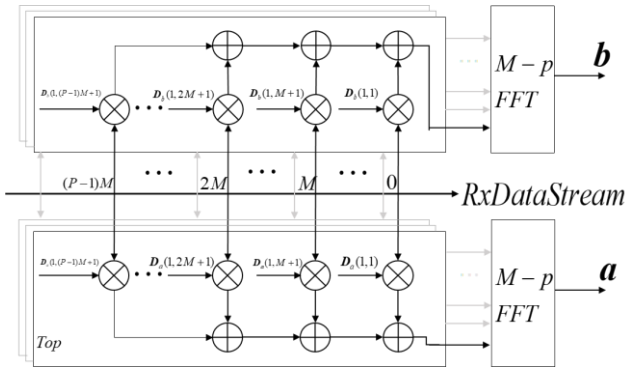


图 3 多带 Chirp-BOK 解调框图

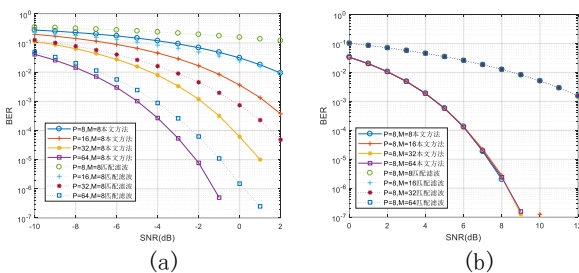
图 4 (a) 相同子带个数 M , 不同子带带宽积 P 比较。(b) 相同子带带宽积 P , 不同子带个数 M 比较。

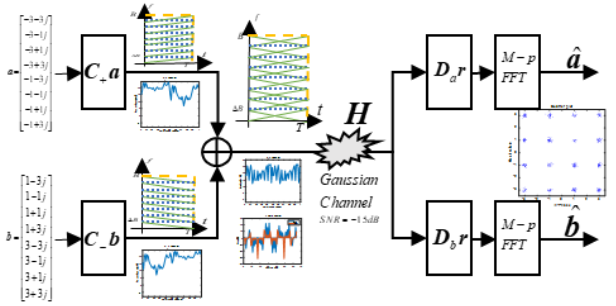
图 4(a) 仿真表明, 在相同子带个数 M 不同的子带带宽积 P 的情况下, 本文方法都取得了一定的信噪比增益; 在 P 值较小的情况下, 处理增益的改善是显著的; 在 P 值越来越大的情况下, 本文方法与传统匹配滤波方法的 BER 曲线趋于一致, 这是由于随着 P 的增大, 传统匹配法的相干项与非相干项的比值增大使得处理增益增大。图 4(b) 仿真表明, 本文方法相比于传统匹配法, 在 $\text{BER}=10^{-2}$ 情况下取得大约 3dB 的信噪比增益。另一方面, 从 Chirp-BOK 信号的时-频框图上看, 仍然有大量空闲的时频格点可用, 这可以进一步提升频谱利用率, 本文的第二章将进一步研究这一问题。

2 多带多 Chirp 基调制解调技术

由多带 Chirp-BOK 调制模型及其约束条件 $s = C_+ a + C_- b$ s.t. $a = o_M - b$, 向量 a 以及向量 b 中的元素 $a_m, b_m \in \{0, 1\}$ 。可以看出, 约束条件是限制系统传输码率的一大因素。在本章节中, 剔除约束条件, 并在时-频域上充分填入线性 Chirp 基。

2.1 剔除约束条件

剔除约束条件 $a = o_M - b$, 这就意味着信源从实数 0/1 域扩展到复数域。如果使用传统的复矢量调制信源, 对于 $s = C_+ a + C_- b$ 调制, 从式错误!未找到引用源。来看, 复矢量调制改变了 Chirp 基的初始相位与幅度, 并且, 时频域上的 Up-Chirp/Down-Chirp 基是实时重叠的。图 5 剔除条件 $a = o_M - b$, $a_m, b_m \in \{0, 1\}$ 调制解调示意图描绘了重叠式多带 Chirp-BOK 调制解调示意图。对于 16QAM 的随机信源向量 a 以及向量 b , 在同带宽且子带个数 $M=8$ 时带宽积 $P=8$ 扩频基个数 $J=2$ 情况下 MMCM-16QAM 相比于 Chirp-BOK 的符号率提升了 16 倍, 但距离传统的 OFDM-16QAM 符号率仍然有 P 倍差距。可以看出剔除约束条件 $a = o_M - b$ 后, 系统频谱利用率得到了提升。

图 5 剔除条件 $a = o_M - b$, $a_m, b_m \in \{0, 1\}$ 调制解调示意图

2.2 引入 Chirp 扩频基

在上一节中, 提出了一种多带 Chirp-BOK 信号的调制解调方案。从 Chirp-BOK 信号的时频格点角度来看, 时-频域上还有很大的利用空间, 考虑再填充其他正交 Chirp 信号。在这里, 我们使用基于 Chirp 信号的短时频移正交信号错误!未找到引用源。, 它是在 Chirp 信号 $e^{j\pi\mu t^2}$ 的基础上进行一定的时移得到另外一个正交信号 $e^{j\pi\mu(t-\tau)^2}$ 。假设系统需要使用 J 组正交扩频基, 在这里, 我们将原始 Chirp 扩频基对 N 均匀地平移 J 份, 并统一地将由扩频基构成对角阵记为 S_{sj} 。使用 S_{sj} 扩频的多带 Chirp 调制过程记为 $C_j = S_{sj} E_{N,M} W_M^{-1}$ 。那么, 在传输矩阵 $H_c = [C_0 \ C_1 \ \dots \ C_{J-1}]$ 伪逆存在的条件下 ($\text{rank}(H_c) = JM$ 或 $P \geq J$) 至多可以携带 J 组独立信源。我们将这种对 M 归一化的调制过程称为多带多 Chirp 基扩频调制 (MMCM)

$$s = \sum_{j=0}^{J-1} C_j a_j = \sum_{j=0}^{J-1} S_{sj} E_{N,M} W_M^{-1} a_j \quad (8)$$

其中 S_{sj} 是第 j 个扩频信号序列构成的对角阵, 扩频序列的长度为 N , 时带宽积为 P 。对于传统的 OFDM 而言, 有 $P=1, J=1$ 。如果让 $P=J>1$, 这将使得 MMCM 的码率达到相同条件下的传统的 OFDM 码率。另一方面, P/J 为整数情况下, C_j 具有良好的正交性, 即 $C_j^H C_j = (P/M) E_M$ (非归一化情况下有 $C_j^H C_j = N E_M$) 以及 $C_i^H C_j = 0_{M \times M}, \forall i \neq j$ 。对于解调而言, 显然有

$$\hat{a}_j = W_M E_{M,N} S_{sj}^H r \times (M/P), \text{对} M \text{归一化} \quad (9)$$

$$\hat{a}_j = W_M E_{M,N} S_{sj}^H r / N, \text{非归一化} \quad (10)$$

但这对 P/J 为非整数情况下并不成立。虽然另一方面, 可以考虑传输矩阵 $\mathbf{H}_c = [\mathbf{C}_0 \ \mathbf{C}_1 \ \cdots \ \mathbf{C}_{J-1}]$ 的伪逆存在的条件下 ($P \geq J$) 求解传输矩阵 \mathbf{H}_c 的伪逆矩阵, 虽然该方法不要求 Chirp 基的正交性, 但复杂度较高, 本文不深入研究该方法。根据上述数学模型, 提出一种 MMCM 调制解调方案, 如图 6/图 7 所示。

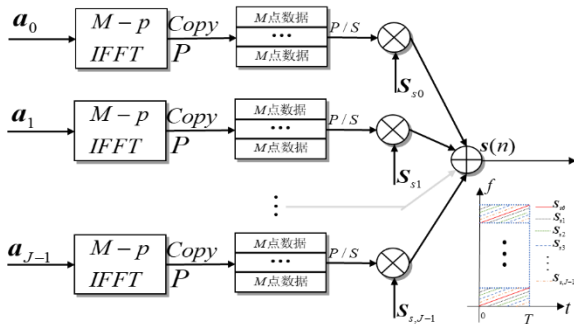


图 6 MMCM 调制方法

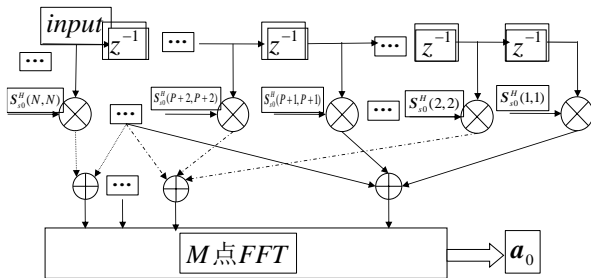


图 7 MMCM 解调方法

MMCM 解调方法相比于多带 Chirp-BOK 解调方法复杂度得到了大幅度降低。MMCM 调制实际上是将信源信息分布在多个连续的频点上。在增加合理短时平移正交信号作为扩频基后, 在时-频域上, MMCM 信号相比于 Chirp-BOK 得到了充分填充与较高的时频空间利用率。这样使得 $J=P$ 条件下的 MMCM 调制的频谱利用率达到了 OFDM 相同的频谱利用率, 但这同时, 仿真表明 MMCM 也失去了原有的处理增益。但是在信源组个数 $J < P$ 的情况下, 扩频信号 s 的带宽为 $N=PM$, 而信源信号的总带宽为 JM , 因此 MMCM 是具有一定的处理增益的, 其增益值为 P/J 。

3 仿真

3.1 时域、频域分析

这一节将分析比较相同条件下的 MMCM 与 OFDM 信号的时域、频域的波形, 如图 8 所示。为了更好地分析比较信号, 本仿真实验中设置 $J=8, P=8, M=8$ 。在时域分析中, 将发射信源设置为 $1-1j$; 在频域分析中, 将发射信源设置为随机信源。此外, 上述数学分析为了公式编写简洁均对 M 归一化, 本节所有仿真均乘回 M 。

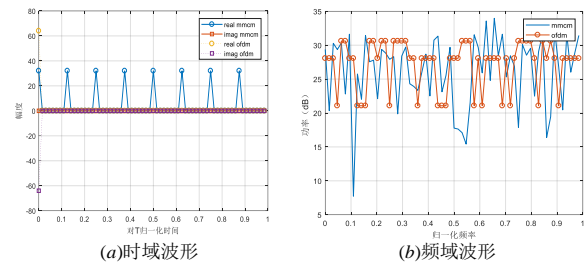


图 8 MMCM 与 OFDM 信号在时域/频域的一些比较

从图 8 (a) 时域图可以看出频域上的常数信息对应时域上的一个窄脉冲, 这符合传统的 OFDM 信号相关特性, 而 MMCM 信号在时域上则表现为一连串脉冲, 这是因为 MMCM 调制本质上是将信源信息组调制一连串频点上。从图 8 (b) 时 MMCM 信号的频谱图可以看, 基于傅里叶分析的 MMCM 信号功率谱具有较高的功率谱变化。

3.2 峰均比(PAPR) & 误比特率(BER)

这一小节采用 CCDF 衡量 MMCM 信号的峰均比指标。在这里, 仿真结果表明, MMCM 与 OFDM 有相近的 PAPR 指标。且当信源组个数增多时, PAPR 随之增大, 结果如图 9 所示。

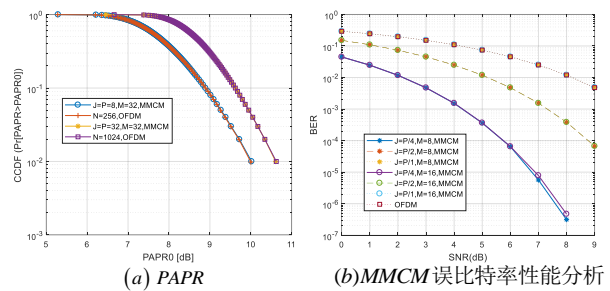


图 9 MMCM-4QAM 与 OFDM-4QAM 性能分析比较

根据理论分析, MMCM 信号的处理增益为 P/J 。仿真结果表明, 对于 $J/P=1/2$, 相比于 OFDM-4QAM 系统, 在 $\text{BER}=10^{-2}$ 情况下取得大约 3dB 信噪比增益; 对于 $J/P=1/4$, 相比于 OFDM-4QAM 系统, 在 $\text{BER}=10^{-2}$ 情况下取得大约 6dB 信噪比增益。当 $J=P$, MMCM 的处理增益为 0dB 即没有信噪比增益, 误码曲线与 OFDM 一致, 与理论分析一致。

4 结束语

本文首先引入限制条件 $N=PM$ 解决了多带 Chirp-BOK 传统匹配滤波法非相关项自干扰的问题; 通过建立一种多带 Chirp 信号的数学模型提出一种调制方案; 根据该数学模型, 基于最小二乘法提出一种检测方法, 该检测方法不受 Chirp-BOK 的约束条件 $\mathbf{a} = \mathbf{o}_M - \mathbf{b}$ 限制。其次通过进一步填充时频空间, 提出一种基于短时平移正交 Chirp 信号的多带多载波 Chirp 调制方案 (MMCM)。对于接收端, 利用矩阵 \mathbf{C}_j 的正交性, 得出 MMCM 信号的解调方案, 相比于传统的 Chirp-BOK 匹配方法, 得到了进一步的简化。在信源组个数 J 与时带宽积 P 相等的情况下, MMCM 的频带利用率与 OFDM 系统一致; 对于信源组个数 J 小于时带宽积 P 的情况下, 接收端具有 P/J 倍处理增益。这为多用户设计、雷达通信一体化设计提供了思路。

参考文献:

- [1] Cheng Shengjuan, Wang Wenqin, So H C. MIMO radar OFDM chirp waveform diversity design with sparse modeling and joint optimization [J]. Multidimensional Systems & Signal Processing, 2015, 28 (1): 1-13.
- [2] Li Baosheng, Zhou Shengli, Stojanovic M, *et al.* Multicarrier communication over underwater acoustic channels with nonuniform Doppler shifts [J]. IEEE Journal of Oceanic Engineering, 2008, 33 (2): 198-209.
- [3] Dongare A, Hesling C, Bhatia K, *et al.* OpenChirp: a low-power wide-area networking architecture [C]// Proc of IEEE International Conference on Pervasive Computing and Communications. 2017: 569-574.
- [4] Vangelista L. Frequency shift chirp modulation: the LoRa modulation [J]. IEEE Signal Processing Letters, 2017, PP (99): 1.
- [5] Karapistoli E, Tsetsinas I, Tsetsinas I, *et al.* An overview of the IEEE 802.15.4a standard [J]. Communications Magazine IEEE, 2010, 48 (1): 47-53.
- [6] Winkler M. Chirp signals for communications [C]// Proc of IEEE WESCON Conference. Piscataway: IEEE Press, 1962: 14-17.
- [7] Berni A J, Gregg W D. On the utility of Chirp modulation for digital signaling [J]. IEEE Trans on Communications, 1973, 21 (6): 748-751.
- [8] 樊孝明 汪沂. 基于 FPGA 的高速多带 ChirpBOK 信号的产生与实现 [J]. 电视技术, 2014, 38 (15): 80-83. (Fan Xiaoming, Wang Yi. Generation and realization of high speed multi-band ChirpBOK based on FPGA [J]. Video Engineering, 2014, 38 (15): 80-83.)
- [9] Wang W Q, Zheng Z, Zhang S. OFDM chirp waveform diversity for co-designed radar-communication system [C]// Proc of Radar Symposium. 2017.
- [10] Ouyang Xing, Zhao Jian. Orthogonal Chirp division multiplexing for coherent optical fiber communications [J]. Journal of Lightwave Technology, 2016, 34 (18): 4376-4386.
- [11] Gaglione D, Clemente C, Ilioudis C V, *et al.* Fractional fourier based waveform for a joint radar-communication system [C]// Proc of Radar Conference. 2016: 1-6.
- [12] Martone M. A multicarrier system based on the fractional Fourier transform for time-frequency-selective channels [J]. IEEE Trans on Communications, 2001, 49 (6): 1011-1020.
- [13] Pinkney J. Low complexity indoor wireless data links using chirp spread spectrum [D]. Calgary, Canada: University of Calgary, 2003.
- [14] Krieger G. MIMO-SAR: opportunities and Pitfalls [J]. IEEE Trans on Geoscience & Remote Sensing, 2014, 52 (5): 2628-2645.